

не только снижением высоты профиля в крайних зонах, но и формой профиля центральных зон.

Анализ характеристик линз без учета рассеянного света показывает, что лучшие образцы киноформных линз собирают в главном фокусе 64—75% энергии. Высота фазового профиля в них в среднем по люлю ниже требуемого значения. Можно ожидать, что при выполнении по

1. Jordan J. A., Jr., Hirsch P. M., Lesem L. B., Van Rooy D. L. Kinoform lenses.— "Appl. Opt.", 1970, vol. 9, N 8, p. 1883—1887.
2. Короневич В. П., Ленкова Г. А., Михальцова И. А. Киноформные линзы. Ч. I. Оптический метод получения фотошаблона.— «Автометрия», 1977, № 5, с. 71—79.
3. Голдина Н. Д., Захаров М. И., Троицкий Ю. В. Синтез характеристик многолучевого отражающего интерферометра.— «Автометрия», 1975, № 3, с. 107—118.
4. Белый В. И., Гудаев О. А., Фокина И. А. Исследование кинетики фотопревращений в слоях фоторезистов под действием лазерного облучения.— «Автометрия», 1976, № 4, с. 84—88.
5. Clair J.-J., Frcilich J., Jonathan J. M. J., Forris L. H. Negative photoresists and integrated optics.— "Nouv. Rev. Optique", 1975, t. 6, N 5, p. 303—306.
6. Koronkevitch V. P., Lenkova G. A., Mihaltsova I. A., Remesnik V. G., Fateev V. A., Tsukerman V. G. Kinoform optical elements.— In: The Proc. of the American Soviet Seminar on Optical Information Processing. N. Y., Plenum Press Corp., 1975.
7. Веревкин В. А., Донцова В. В., Ленкова Г. А. Оптический метод изготовления одномерных киноформ.— «Автометрия», 1978, № 3, с. 71—80.

Поступила в редакцию 24 апреля 1978 г.

УДК 681.327.68 : 778.38 : 532.783

А. В. ГУК, П. И. КОЛЕННИКОВ, В. А. ПИЛИПОВИЧ

(Минск)

УСТРОЙСТВО ВВОДА ИНФОРМАЦИИ В ГОЛОГРАФИЧЕСКОЕ ЗУ НА ОСНОВЕ МОЗАИЧНОГО ЖИДКОКРИСТАЛЛИЧЕСКОГО УПРАВЛЯЕМОГО ТРАНСПАРАНТА

Жидкокристаллические (ЖК) управляемые транспаранты (УТ) мозаичного типа обладают существенными преимуществами по сравнению с матричными жидкокристаллическими управляемыми транспарантами при использовании их для ввода информации в голограммическое ЗУ. К этим преимуществам относятся высокое быстродействие и контраст оптического изображения [1]. Однако создание таких устройств ввода информации в котором осуществляется по мере поступления из ЭВМ информационных каналов (10^3 — 10^5). Ряд авторов [2,3] предлагают использовать для управления мозаичным ЖК УТ матричное ЗУ, запись информации в котором осуществляется по мере поступления из ЭВМ. После формирования страницы информационный массив подается через матрицу ключевых элементов на независимые электроды мозаичного ЖК УТ. Как показано в [4], матричное ЗУ может быть выполнено с использованием интегральных схем на единой кремниевой подложке. Структура устройства ввода может быть существенно упрощена, если для

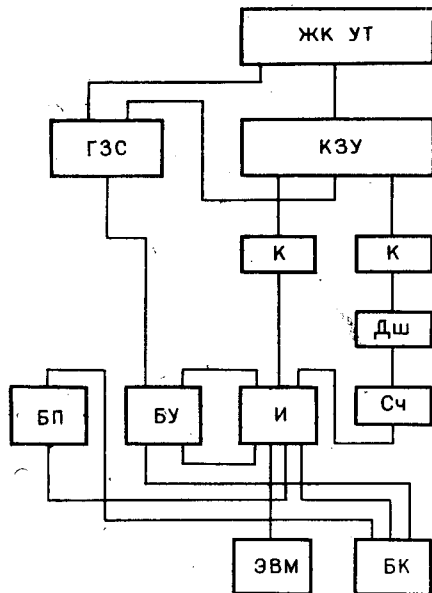


Рис. 1. Структурная схема устройства.

световых клапана, работающий в режиме динамического рассеяния света. Конструкция и технология изготовления УТ описана в работе [6].

Конденсаторное ЗУ выполнено на дискретных элементах и содержит в каждой ячейке памяти два диода КД102А и конденсатор емкостью 1000 пФ [5], подключенный параллельно соответствующему световому ЖК-клапану УТ. Запись информации в КЗУ осуществлялась через две группы ключей, служащих для согласования параметров возбуждения ЖК УТ с уровнями ТТЛ-микросхем электронных блоков устройства. Тактовая частота построчной записи варьировалась в пределах $500 \div 32$ кГц. Максимальное время хранения информации в КЗУ составило 470 мс.

Связь устройства с информационными каналами ЭВМ «Электроника-100И» и ЭКВМ «Электроника-70» осуществлялась через интерфейс (И). В случае асинхронного поступления данных из ЭВМ страницы формировались в буферном ЗУ (БЗУ) интерфейса. Счетчик (Сч) и дешифратор (Дш) использовались при перезаписи информации из БЗУ в КЗУ. Блок клавиатуры (БК) позволял управлять работой устройства и осуществлять ручной ввод информации, а блок проверки (БП) вырабатывал тестовые комбинации. Блок управления (БУ) синхронизировал работу устройства при перезаписи информации в КЗУ, воспроизведении и регистрации оптических массивов в голограммическом ЗУ.

В устройстве предусмотрены режимы контроля, однократного и многократного воспроизведения информации. Визуальный контроль преобразования данных заключался в подаче на УТ тестовых комбинаций в виде «шахматного поля» (прямого и инверсного).

Рассмотрим цикл работы устройства ввода информации.

В начале работы БУ устанавливает все управляющие триггеры в исходное состояние и подает в интерфейс сигнал готовности устройства. По этому сигналу интерфейс переключает триггер «Флаг» в состояние «1». ЭВМ переходит в режим передачи информации в интерфейс. По мере поступления данных из ЭВМ сдвиговый регистр интерфейса формирует 32-разрядные слова, которые последовательно записываются в БЗУ. При этом в интерфейсе производится подсчет количества информационных слов. После заполнения БЗУ триггер «Флаг» устанавливается

формирования индивидуальных каналов управления мозаичным ЖК УТ использовать матричное конденсаторное ЗУ (КЗУ) с диодными либо транзисторными элементами адресации, в котором информация хранится только в течение времени реагирования ЖК-вещества [5].

В статье рассматривается структурная схема и работа устройства ввода информации в голограммическое ЗУ на основе мозаичного ЖК УТ, приводятся его электрооптические характеристики.

Созданное авторами устройство ввода информации, структурная схема которого представлена на рис. 1, обеспечивает запись оптических бинарных массивов (страниц) данных, поступающих из ЭВМ.

Рассмотрим кратко назначение блоков и элементов устройства.

Основным компонентом является мозаичный ЖК УТ с форматом 32×32

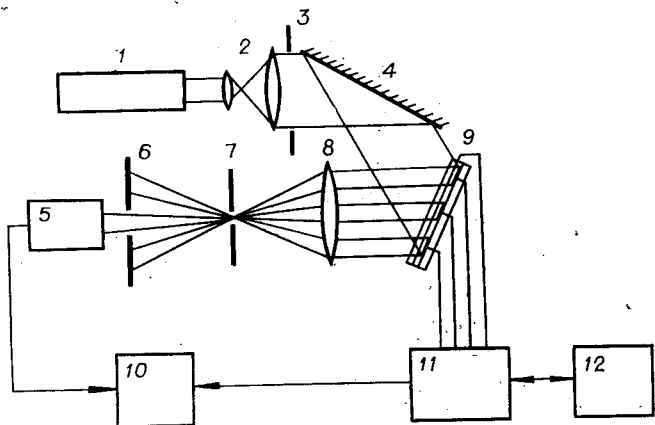


Рис. 2. Схема экспериментальной установки:
1 — лазер, 2 — коллиматор, 3, 6, 7 — диафрагмы, 4 — зеркало, 5 — ФЭУ, 8 — линза, 9 — ЖК УТ, 10 — осциллограф, 11 — электронный блок устройства, 12 — ЭКВМ.

в состояние «0», закрывая входной канал устройства. По сигналу БУ информация из БЗУ через высоковольтные ключи (К) заносится в КЗУ. Через промежуток времени, необходимый для реагирования ЖК УТ, на выходе устройства воспроизводится исходная страница информации, которая поступает в оптическую схему записи голограммического ЗУ. Затем происходит разряд конденсаторов КЗУ, а на общий электрод УТ с генератора записи и стирания подается высокочастотное напряжение, форсирующее релаксацию ЖК.

В зависимости от заданного режима работы устройства БУ либо разрешает обмен данными с ЭВМ, либо продолжает циклически заносить страницу из БЗУ в КЗУ.

Измерения электрооптических характеристик устройства ввода информации проводились на установке, блок-схема которой представлена на рис. 2. Луч гелий-неонового лазера 1 коллинировался системой объективов 2 и освещал ЖК УТ 9. С помощью линзы 8 и диафрагмы 7 устраивалось паразитное отражение от передней плоскости ЖК УТ 9, а диафрагма 6 селектировала оптические сигналы одного из 1024 каналов устройства, работающего в режиме многократного воспроизведения страницы, сформированной с помощью электронно-клавишной вычислительной машины 12 (ЭКВМ) «Электроника-70». Эксперименты проходили при комнатной температуре. Для учета нестабильности излучения лазера в процессе измерений контролировалась его выходная мощность.

С целью определения условий полного возбуждения ЖК-клапанов УТ была исследована зависимость коэффициента модуляции света от амплитуды импульсов, подаваемых из КЗУ. Длительность импульсов ($\tau_{имп}$) составляла 10 мс, а период следования — 100 мс. Регулировка амплитуды импульсов (U_b) от 0 до 90 В осуществлялась путем изменения напряжения питания ключей и ограничивалась электрической прочностью ЖК-вещества и энергозатратами устройства.

Кривая 1 на рис. 3, а иллюстрирует влияние U_b на глубину модуляции света (M). Максимальное значение M, равное 98%, было получено при амплитуде возбуждения 45 В. Одновременно с M измерялись величины задержки реагирования (τ_s), длительности реагирования (τ_p) и релаксации ($\tau_{рел}$) ЖК-клапанов. Кривые 2—4 на рис. 3, а отображают зависимости τ_s , τ_p и $\tau_{рел}$ от величины U_b .

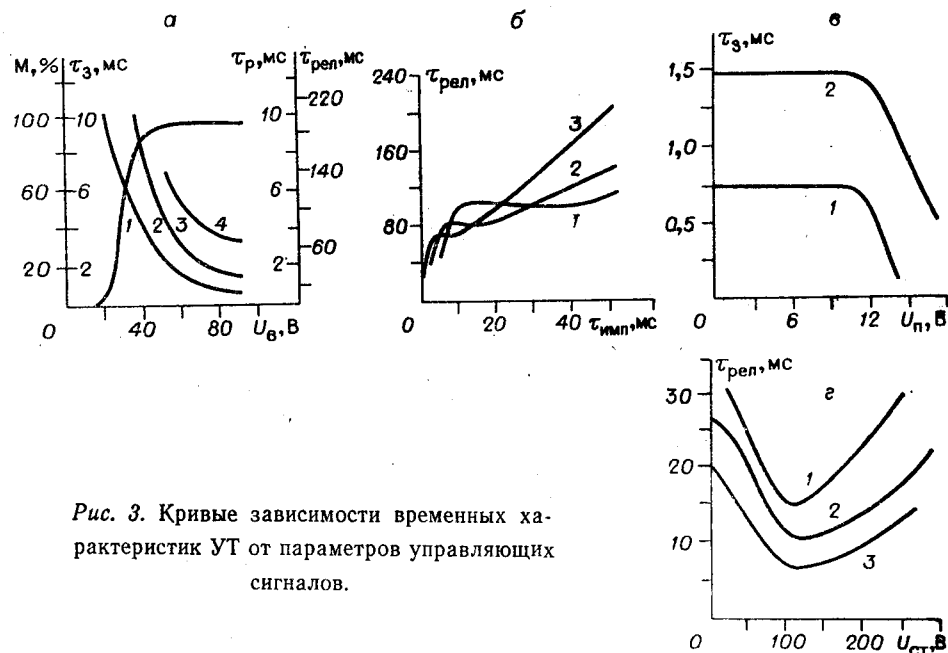


Рис. 3. Кривые зависимости временных характеристик УТ от параметров управляемых сигналов.

Проведенный эксперимент показал, что с увеличением амплитуды импульсов возбуждения при заданной величине $\tau_{имп}$ улучшаются временные характеристики УТ. Так, для $U_b=90$ В τ_a составила 0,75 мс, τ_p — 1,25 мс и $\tau_{рел}$ — 72 мс. Наиболее существенным фактором, ограничивающим скорость преобразования информационных массивов из электрической в оптическую форму, является $\tau_{рел}$, которая зависит от длительности однополярных импульсов возбуждения. Кривые 1—3 на рис. 3, б показывают влияние $\tau_{имп}$ на $\tau_{рел}$ при значениях U_b — 60, 70 и 90 В. Измерения проводились при условии, что М составляет 98%. Вариация $\tau_{имп}$ осуществлялась путем управляемого разряда конденсаторов КЗУ. Уменьшение $\tau_{имп}$ ниже величины $\tau_a + \tau_p$ для заданной амплитуды U_b приводило к резкому спаду глубины модуляции М, обусловленному неполным включением динамического рассеяния света в ЖК-материале. Минимальное значение $\tau_{рел}$, равное 26 мс, достигалось в случае, когда $\tau_{имп}$ составляло 2 мс, а U_b — 90 В.

Дальнейшее уменьшение $\tau_{рел}$ осуществлялось с помощью радиоимпульсов с частотой заполнения 50 кГц, которые вырабатывались генератором записи и стирания (ГЗС) и подавались на общий электрод ЖК УТ вслед за импульсами возбуждения [5,7]. Для выбора оптимальной амплитуды стирания ($U_{ст}$) были исследованы зависимости $\tau_{рел}$ от $U_{ст}$ в различных режимах возбуждения. Кривая 1 на рис. 3, г построена для $U_b=60$ В и $\tau_{имп}=4,5$ мс, кривая 2 — для $U_b=80$ В и $\tau_{имп}=2,5$ мс, кривая 3 — для $U_b=90$ В и $\tau_{имп}=2$ мс. Изменение частоты заполнения в диапазоне 10—100 кГц не влияло на $\tau_{рел}$. Минимальное $\tau_{рел}$ = 7 мс достигалось при $U_{ст} = 110$ В.

В промежутке между импульсами стирания и возбуждения ГЗС подавал на общий электрод УТ сигналы подготовки записи, вызывавшие сокращение τ_a [5]. Амплитуда сигналов подготовки (U_n) была близкой к порогу срабатывания ЖК-клапанов. Так как протекание постоянного тока через ЖК УТ сокращает срок его службы, полярность сигналов подготовки выбиралась такой, чтобы компенсировать постоянную составляющую импульсов возбуждения. На рис. 3, в кривые 1 и 2 показывают зависимости τ_a от U_n при U_b 90 и 60 В. В первом случае изменение от 0 до 14 В сокращало задержку реагирования ЖК-клапанов в 7,5 раза.

Проведенные исследования позволили оптимизировать режимы управления порядка 20 пФ. ЗУ с такими параметрами может быть использовано в интегральной технологии. Конструктивное совмещение УТ и КЗУ позволит решить проблему увеличения формата устройства до 10^4 — 10^5 бит в странице.

В заключение авторы выражают благодарность В. П. Кустову за работу по созданию мозаичного ЖК УТ.

ЛИТЕРАТУРА

1. Васильев А. А., Компанец И. Н., Никитин В. В. Управляемый транспарант в голограммических системах обработки информации.—В кн.: Оптические методы обработки информации. Л., «Наука», 1974.
2. Устройство для отображения цифро-буквенной информации.—«Электроника», 1973, т. 46, № 22, с. 15.
3. Rajchmann I. A. An optical read-write mass memory.—“Appl. Opt.”, 1970, vol. 9, N 10, p. 2269.
4. Володин Е. Б., Свидзинский К. К. Возможность построения интегральных управляемых транспарантов для оптической цифровой техники и связи.—«Автометрия», 1977, № 4, с. 68.
5. Лекнер В. Д., Марлоу Ф. Д., Нестер Е. О. Матричное воспроизведяющее устройство на жидкокристаллах.—ТИИЭР, 1971, т. 59, № 11, с. 30.
6. Пилипович В. А., Кустов В. П., Гук А. В., Коленников П. И. Применение мозаичного жидкокристаллического управляемого транспаранта для оптической записи информации.—«Изв. АН БССР. Сер. физ.-мат. наук», 1976, № 5, с. 110.
7. Васильев А. А., Компанец И. Н., Никитин В. В. Сокращение времени переключения оптического транспаранта на жидкокристалле.—«Квант. электроника», 1972, № 3, (9), с. 81.

Поступила в редакцию 19 июня 1978 г.

УДК 621.373.826 : 621.376

Ю. Н. ТИЩЕНКО, А. В. ТРУБЕЦКОЙ

(Новосибирск)

НЕКОТОРЫЕ ВОПРОСЫ СОЗДАНИЯ И ИССЛЕДОВАНИЯ АКУСТООПТИЧЕСКОГО ДЕФЛЕКТОРА НА МОНОКРИСТАЛЛАХ TeO_2

Акустооптические дефлекторы (АОД) на основе аномальной дифракции света на сдвиговых акустических волнах в монокристаллах TeO_2 , впервые предложенные в работе [1], обладают необычно широкой полосой частот акустооптического взаимодействия и низкими управляющими электрическими мощностями. Особенно перспективны АОД, в которых применяются акустооптические ячейки (АОЯ) несимволического типа [2]. В таких АОЯ акустический волновой вектор направлен под некоторым углом Θ_a к оси [110] кристалла TeO_2 , что позволяет избежать нежелательного «провала» в середине частотной характеристики АОЯ, вызванного перекачкой света во 2-й порядок дифракции.